

تحلیل تجربی انرژی و اگزرزی چرخه تبرید تراکمی سه مرحله‌ای واحد ۱۴۷ مجتمع گاز پارس جنوبی

مهدی دیمی دشت بیاض*

جعفر اطمینان

استادیار، گروه مهندسی مکانیک، دانشگاه حکیم سبزواری، سبزوار، ایران

کارشناس ارشد، گروه مهندسی مکانیک، دانشگاه حکیم سبزواری، سبزوار، ایران

چکیده

در این مقاله به تحلیل انرژی و اگزرزی یک چرخه تبرید تراکمی سه مرحله‌ای واقع در واحد ۱۴۷ مجتمع گاز پارس جنوبی پرداخته شده است. در چرخه مورد نظر، خنک کاری بخار پروپان توسط مبرد پروپان انجام می‌شود. نتایج تجربی ثبت شده از نقاط مختلف چرخه تبرید شامل روز های یک سال گرد آوری شده است. پس از ثبت دما، فشار و دبی مبرد و محاسبه ترمودینامیکی مشخصات چرخه، بازده اگزرزی، ضریب عملکرد، اگزرزی تخریبی تجهیزات، کار مصرفی و گرمای ورودی به چرخه محاسبه و نتایج به صورت نمودار متوسط ماهیانه برای یک سال رسم گردیده اند. با توجه به نتایج بدست آمده، به ترتیب بیشترین و کمترین بازده چرخه در ماه های مرداد و اردیبهشت مشاهده شد. همچنین به ترتیب بیشترین و کمترین اگزرزی تخریبی متوسط برای یک سال برای مجموعه ای شیوه های انسیاط و مجموعه درام های مکش بدست آمده اند.

واژه های کلیدی: چرخه تبرید تراکمی، مطالعه‌ی تجربی، تحلیل اگزرزی، انرژی، ضریب عملکرد، بازده اگزرزی.

Experimental analysis of Energy and exergy three-stage compression refrigeration cycle in unit 147 of south pars gas complex

M. Deymi-Dashtbayaz

Department of Mechanical Engineering, Hakim Sabzevari University, Sabzevar, Iran

J. Etminan

Department of Mechanical Engineering, Hakim sabzevari university, Sabzevar, Iran

Abstract

In this paper, an experimental analysis of exergy and energy for a three-stage compression refrigeration cycle that located in unit 147 of south pars gas company has been investigated. In the cycle, vapor of propane cools with the propane refrigerant. Experimental results that recorded from different points of the cycle are collected for all days in a year. After recording of temperature, pressure mass flow of refrigerant, and thermodynamic calculation of the cycle specification, the variation of temperature, pressure and flow rates of different cycles, exergy efficiency, operating coefficient, exergy of equipment destruction, consumption and heat input into the cycle, and the results as a medium diagram Monthly in a year. According to the results, the highest and lowest values of efficiency observed in months of July and April, respectively. Also, the highest and lowest average values of exergy was obtained for a series of expansion valves and suction drum sets for one year.

Keywords: Compression refrigeration cycle, Experimental study, Exergy analysis, Energy, Exergy efficiency.

زیست، گرم شدن کره زمین و تخریب لایه اوزون نیاز فوری به استفاده بهینه از انرژی کارآمد در تجهیزات تبرید احساس می شود^[۳]. برخلاف قانون اول (انرژی) تجزیه و تحلیل بر اساس قانون دوم (اگزرزی) در تعیین میزان بازگشت ناپذیری و تمرکز بر بهبود عملکرد چرخه ترمودینامیکی تبرید بسیار موثر و کارا است. تاکنون مطالعات زیادی در زمینه ارزیابی عملکرد چرخه تبرید به صورت تجزیبی انجام شده است، رضا فاخری و همکاران به تحلیل انرژی و اگزرزی چرخه های تبرید جذبی تک اثره و ترکیبی جذبی اجکتور پرداختند. آن ها همچنین به بررسی تعییرات دمای تبخیر کننده و زنرادر بر میزان اتفاف اگزرزی و بازده اگزرزی چرخه های مورد اشاره پرداختند^[۴]. سجاد جلالی و همکاران به تحلیل اگزرزی، انرژی و محیط زیستی استفاده از چرخه های تبرید تراکمی- جذبی در کشتی های تجاری پرداختند^[۵]. رضا ضیاء بخش و صدر واقفی به تحلیل اگزرزی اکونومیک چرخه تبرید جذبی پرداختند. آن ها برای این منظور با کمک نرم افزار EES و Matlab به بهینه

۱- مقدمه

تبرید نقش مهمی را در صنعت، بخش های داخلی و تجاری، نگهداری و تولید مواد غذایی و مصرفی ایفا می کند^[۱]. همچنین چرخه های تبرید تراکم چند مرحله ای به طور گسترده در صنعت تبرید مورد استفاده قرار می گیرد^[۲]. در تبرید سیستم چند مرحله ای به سیستمی اطلاق می شود که دارای دو یا چند قسمت فشار ضعیف باشد. این سیستم به مرابت راندمان بهتری نسبت به چرخه های یک مرحله ای یا دو مرحله ای دارد و از آن در صنعت به خصوص در پالایشگاه ها جهت کاهش بازگشت ناپذیری ها به طور قابل توجهی استفاده می شود. مصرف انرژی یک چرخه تبرید تراکمی رابطه‌ی مستقیمی با بهره اقتصادی چرخه دارد. به همین دلیل پژوهشگران در جستجوی راه هایی جهت به حداقل رساندن میزان مصرف انرژی هستند. در عصر حاضر با توجه به افزایش تقاضای انرژی و به دنبال آن افزایش هزینه ها، تخریب محیط

*نویسنده مکاتبه کننده، آدرس پست الکترونیکی: meh_deimi@yahoo.com

تاریخ دریافت: ۹۶/۱۲/۱۸

تاریخ پذیرش: ۹۷/۰۹/۲۶

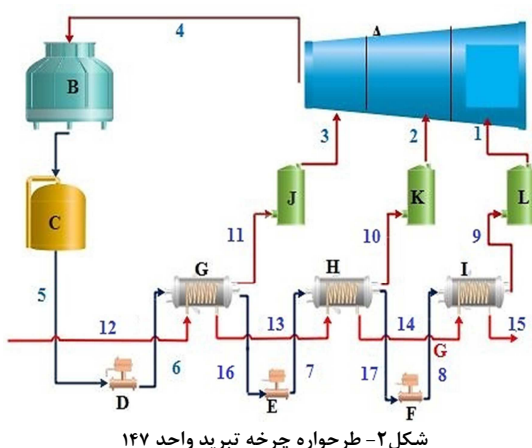
است که در مجموع وظیفه سردسازی پروپان را بر عهده داردند (شکل ۲). جدول ۱ مشخصات ثبت شده از پروپان ورودی به چرخه را نشان می دهد.



شکل ۱-تجهیزات چرخه خنک سازی پروپان (الف) کمپرسور (ب) چگالنده (ج) مبادله کن های گرمای دنش تبخیر کن (د) درام های مکش

جدول ۱-مشخصات ثبت شده از پروپان ورودی به چرخه

فشار (bar)	دما (°C)	موقعیت در چرخه
۲۶/۸	۴۰	۱۲
۲۵/۱	۲۲	۱۳
۲۴/۴	-۱۱	۱۴
۲۳/۷	-۳۴	۱۵



شکل ۲- طرحواره چرخه تبرید واحد ۱۴۷

در این سردکننده ها پروپان ورودی به چرخه از درون لوله و پروپان سردساز از درون پوسته می گذرد. پروپان ورودی با مشخصات جدول از چرخه عبور کرده و از آن خارج می شود. از سوی دیگر، مبرد پروپان بعد از دریافت گرمای از پروپانی که سرد و مایع شده است در تبخیر کن

سازی چرخه تبرید پرداختند [۶]. جمیل الرحمن و سید زبیر به بررسی چرخه تبرید تراکمی دو مرحله ای پرداختند. تایج پژوهش آن ها پیرامون مدل کردن TSS و ابستگی آن به عملکرد چرخه منتشر شد [۷]. همچنین موهان چاندرا به تحلیل اگزرسی یک چرخه تبرید تراکمی با مبرد R-12 و R-134a پرداخت و نشان داد استفاده از R-134a باعث افزایش بازده اگزرسی می شود [۸]. نوان خان و همکاران نیز به تحلیل اگزرسی و انرژی یک چرخه تبرید تراکمی پرداختند و بازده انرژی و اگزرسی آن را برای چند مبرد مختلف بررسی کردند [۹]. باش پاتل و همکاران به مطالعه ای پارامتریک و مدلسازی ترمودینامیکی چرخه تبرید با تراکم دو مرحله ای پرداختند. تحقیقات آن ها در استفاده از جاذب منجر به کاهش ۲۸ درصدی کار مصرفی شد [۱۰]. سرتاک صمد و علی ارسلان نیز به بررسی قانون دوم ترمودینامیک و مبردهای مختلف برای یک چرخه تبرید تراکمی بخار پرداختند [۱۱]. پراتیک مالوی و همکاران به تحلیل اگزرسی چرخه تبرید تراکمی بخار پرداختند [۱۲]. علیرضا شیبانی و محمد کشتکار به بررسی تجربی و بهینه سازی ترمواکنومیک و تحلیل اگزرسی چرخه تبرید تراکمی پرداختند [۱۳]. همچنین راجا سخار و یکال سادیو به تحلیل تجربی یک چرخه تبرید جذبی پرداختند [۱۴]. آراز و همکاران نیز تحلیل تجربی اگزرسی و انرژی یک سامانه ای تبرید با مبرد R-134A را بررسی کردند [۱۵]. ویرش و همکاران نیز به تحلیل تجربی سیستم تبرید جذبی پرداختند [۱۶]. کارپینلیوگلو و همکاران نیز یک سیستم تبرید تراکمی دو مرحله ای را به صورت تجربی بررسی کردند [۱۷]. همچنین اینالی و همکاران برای ماه های مختلف سال به تحلیل تجربی اگزرسی و انرژی یک چرخه پمپ حرارتی زمینی پرداختند [۱۸]. در این مقاله، به تحلیل اگزرسی و مطالعه ای تجربی چرخه واقعی تبرید تراکمی سه مرحله ای، واحد ۱۴۷ پارس جنوی با ظرفیت سرمایش پرداخته شده است. پس از ثبت حضوری دما، فشار و دبی در نقاط مختلف چرخه برای هر دقیقه ای شبانه روز برای تمام روز های سال ۲۰۱۶ نمودار تغییرات این پارامترها رسم و نتایج اگزرسی تخریبی تجهیزات و بازده چرخه برای یک سال بررسی گردیده اند.

۲- موقعیت و مشخصات چرخه

این واحد در شرق استان بوشهر، در حاشیه خلیج فارس، در ۳۰۰ کیلومتری شرق بندر بوشهر و ۵۷ کیلومتری غرب بندرعباس واقع است. شکل ۱ تصویری از چرخه تبرید واحد ۱۴۷ از نمای بیرونی است. این چرخه جهت خنک کردن و ذخیره پروپان تصفیه شده که از واحد مجاور (۱۴۶) فرستاده می شود در نظر گرفته شده است. مبادله کن گرمای از نوع پوسته و لوله و سیال خنک کننده پروپان می باشد. پروپان حاصل از واحد مجاور باید برای ذخیره سازی به صورت مایع در آید. به همین دلیل آن را در چرخه واحد ۱۴۷ در معرض پروپان مایع قرار می دهند تا دمای خود را از دست داده و به حالت مایع در آید. این چرخه شامل ۳ عدد سرماساز از نوع پوسته و لوله و ۳ عدد suction

$$\dot{E}_i = \dot{E}_o \quad (2)$$

که در آن، \dot{E}_i نرخ انرژی خالص وارد شده به چرخه و \dot{E}_o نرخ انرژی خالص خارج شده از چرخه از طریق حرارت و کار است. معادله ی عمومی اگزرسی می تواند به صورت زیر بیان شود.

$$\dot{Ex}_i - \dot{Ex}_o = \dot{Ex}_d \quad (3)$$

که سمت چپ معادله شامل نرخ اگزرسی خالص انتقال یافته از سیستم و سمت راست معادله نرخ اگزرسی تخریبی است. معادله (3) به صورت معادله ی (4) هم نوشته می شود.

$$\dot{Ex}_{heat} - \dot{Ex}_{work} + \dot{Ex}_{mass,i} - \dot{Ex}_{mass,o} = \dot{Ex}_d \quad (4)$$

معادله ی (4) به عنوان معادله ی تعادل اگزرسی به صورت معادله ی (5) بسط داده شده است.

$$\sum \left(1 - \frac{T_0}{T_\infty}\right) \dot{Q}_r - W + \sum \dot{m}_i \dot{Ex}_i - \sum \dot{m}_o \dot{Ex}_o = \dot{Ex}_d \quad (5)$$

که در آن \dot{Ex} به مفهوم اگزرسی جریانی نقطه ای چرخه و مقدار آن برابر با معادله ی (6) است. \dot{Q}_r نیز گرمای انتقال یافته از مرز r سیستم در دمای ثابت T_∞ است.

$$\dot{Ex} = (h - h_0) - T_0(s - s_0) \quad (6)$$

که در آن h_0 و s_0 مشخصات حالت مرده تعريف می شوند. و مقادیر آن ها به ترتیب برابر است با $(K) 298/15$ و $(KJ/kg.K) 298/33$ و $1/695$

است. اگزرسی تخریبی ناشی از بازگشت ناپذیری در چرخه به صورت معادله ی (7) نوشته شده است.

$$\dot{Ex}_d = \dot{I} = T_0 \dot{S}_{gen} \quad (7)$$

۳-۲-شرایط محیطی

اگزرسی همواره با توجه به یک محیط مرجع ارزیابی می شود. محیط مرجع در تعادل پایدار است و به صورت یک سیستم بی نهایت که گرما به آن انتقال می پاید فرض می شود. در محاسبات، برای شرایط محیطی که چرخه تبرید در آن قرار گرفته است دمای محیط برای ۳۶۵ روز سال ثبت شده است و پس از متوسط گیری نمودار تغییرات آن برای ماه های یک سال (۲۰۱۶) رسم گردیده است. شکل (3) نمودار تغییرات دمای محیط برای واحد ۱۴۷ پارس جنوی برای سال ۲۰۱۶ را نشان می دهد. مشاهده شد که دمای محیط برای ماه های مرداد، شهریور و مهر بیشترین مقادیر خود را تجربه می کند.

۳-۳-بازده انرژی و اگزرسی

اگزرسی یا انرژی در دسترس، معیاری تائیر پذیر از نرخ تبدیل ورودی ها به محصولات و خروجی های فرآیند است (خروجی ها تقسیم بر ورودی ها).

$$COP = (Q_{in1} + Q_{in2} + Q_{in3}) / W_{Comp} \quad (8)$$

های G، H و I به بخار اشباع تبدیل شده و به سمت suction drum ها حرکت می کند. در suction drum، تلاطم و فاز مایع باقی مانده مبرد گرفته شده و بخار خالص به سمت کمپرسور جریان می بارد. بخار خارج شده از suction drum بسته به میزان فشار مبرد از سه مسیر L-1 سطح فشار کم، K-2 سطح فشار متوسط و J-3 سطح فشار بالا به ترتیب به قسمت فشار پایین، فشار متوسط و فشار بالای کمپرسور سه مرحله ای (A) وارد می شود. پس از خروج از کمپرسور و ورود به چگالنده، مبرد گرمای خود را به محیط داده و به صورت مایع از چگالنده (B) خارج می شود. در این موقعیت با توجه به نیاز به ذخیره سازی پروپان و استفاده از مایعات مبرد جمع شده از مخزن C به عنوان مخزن ذخیره در مسیر چرخه کمک گرفته می شود. پس از خروج از چگالنده، مبرد با فشار بالا با عبور از شیر فشار شکن ابتدایی (D) با افت شدید فشار و افت دما مواجه شده و وارد تبخیر کن G و ادامه ای فرایند سردسازی می گردد. جدول ۲ علامت های اختصاری به کار رفته در چرخه را معرفی می کند. مبرد پروپان ورودی به چرخه جهت خنک سازی که از مسیر ۱۲ وارد تبخیر کن G می شود پس از خنک شدن جهت ورود به چرخه سرمایش گاز بوتان آمده می شود. مخزن C یک مخزن ذخیره برای مبرد پروپان خروجی از چگالنده است که در موقعیت که چرخه در حالت غیر فعال است ذخیره سازی پروپان را بر عهده دارد. با توجه به تاثیر زیاد دمای محیط بر عملکرد خنک کاری چرخه موجود، دمای محیط برای ۳۶۵ روز سال ثابت و پس از متوسط گیری ماهیانه، نمودار تغییرات آن برای ۱۲ ماه سال ۲۰۱۶ میلادی رسم شده اند. مشاهده شد که در ماه های جولای، آگوست و سپتامبر دمای محیط حداکثر است.

جدول ۲-علامت های اختصاری به کار رفته در چرخه

نام تجهیز	علامت
Compressor	A
Condenser	B
Storage tank	C
Ex-Valve3	D
Ex-Valve2	E
Ex-Valve1	F
Evaporator3	G
Evaporator2	H
Evaporator1	I
Suction drum3	J
Suction drum2	K
Suction drum1	L

۳-۳-فرضیات و معادلات حاکم

۱-۳-تعادل انرژی و اگزرسی

معادلات حاکم بقا جرم، انرژی و معادلات اگزرسی برای حالت جریان پایا به صورت معادلات (۷-۱) نشان داده شده اند.

$$\sum \dot{m}_i = \sum \dot{m}_o \quad (1)$$

که در آن، \dot{m} دمی جریان است، α نشان دهنده می جریان ورودی و نشان دهنده می جریان خروجی است.

قانون اول ترمودینامیک می تواند به صورت معادله ی (۲) بیان شود.

۳-۴- تحلیل انرژی و اگررژی

خروجی کنترل کننده های دبی جریانی در چرخه در هر نقطه از شکل ۲ برای یک سال ثبت و گردآوری شده و نتایج آن به صورت متوسط سال در جدول ۳ آورده شده است.

جدول ۳- مقادیر دبی جریانی نقاط مختلف

دبی جریان متوسط (kg/s)	مشخصه دبی جریانی
۹	$\dot{m}_1 \approx \dot{m}_9 \approx \dot{m}_8 \approx \dot{m}_{17}$
۱۶/۵	$\dot{m}_2 \approx \dot{m}_{10}$
۲۴/۰۵	$\dot{m}_3 \approx \dot{m}_{11}$
۴۹/۵۶	$\dot{m}_4 \approx \dot{m}_5 \approx \dot{m}_6$
۲۵/۰۸	$\dot{m}_7 \approx \dot{m}_{16}$
۴۹/۵۶	$\dot{m}_1 + \dot{m}_2 + \dot{m}_3 \approx \dot{m}_4$

معادلات تعادل انرژی با توجه به شرایط و مشخصات چرخه مساله (شکل ۲) و همچنین ضریب عملکرد چرخه نیز به صورت نسبت گرمایهای وارد شده به چرخه به کار کمپرسور در جدول ۴ تعریف شده است.

با توجه به جدول اگررژی تخریبی کل به صورت معادله ۵ (۱۱) و راندمان اگررژی به صورت معادله ۶ (۱۲) تعریف می شود.

$$\dot{E}x_{dest,total} = \dot{E}x_{dest,comp} + \dot{E}x_{dest,Cond} + \dot{E}x_{dest,eva,I,H,G} + \dot{E}x_{dest,suction\ drum,L,K,G} + \dot{E}x_{dest,EX-valve,F,E,D} \quad (11)$$

$$\eta_H = \dot{E}x_{dest,total} / \dot{w}_{comp} \quad (12)$$

۴- بحث و بررسی نتایج

برای محاسبه اگررژی جریانی در موقعیت های مختلف چرخه و اگررژی تخریبی تجهیزات به مشخصات ترمودینامیکی هر نقطه از چرخه نیاز است. بنابراین داده های مربوط به دو خاصیت دما، فشار و دبی جریانی برای نقاط مشخص شده در چرخه (شکل ۲) برای مدت ۲۴ ساعت شبانه روز در طول یک سال (۱۳۹۶ هجری شمسی) از کنترل کننده های دبی جریانی، دما و فشار سنج های تعیینه شده در موقعیت های مختلف چرخه دریافت و ثبت شده است. همچنین جهت بررسی اثرات دمای محیط بر عملکرد چرخه، دمای محیط برای روز های مختلف سال ثبت و پس از متوسط گیری ماهیانه نمودار تغییرات آن برای یک سال رسم گردیده است. تمام محاسبات با فرض دمای ۲۹۸/۱۵ کلوین و فشار ۱۰۱۳۲۵ پاسکال برای حالت مرده انجام شده اند. شکل ۳ تغییرات دمای متوسط ماهیانه نقاط مختلف چرخه به همراه دمای محیط را برای یک سال (۲۰۱۶) نشان می دهد.

جدول ۴- معادلات موازنہ اگررژی

مشخصه	معادله ای موازنہ اگررژی
\dot{Q}_{cond}	$\dot{m}_4(h_4 - h_5)$
$\dot{Q}_{in,eva1(I)}$	$\dot{m}_9h_9 - \dot{m}_8h_8$
$\dot{Q}_{in,eva2(H)}$	$\dot{m}_{10}h_{12} + \dot{m}_{17}h_{17} - \dot{m}_7h_7$
$\dot{Q}_{in,eva3(G)}$	$\dot{m}_{11}h_{11} + \dot{m}_{16}h_{16} - \dot{m}_6h_6$
\dot{w}_{comp}	$\dot{m}_4h_4 - (\dot{m}_1h_1 + \dot{m}_2h_2 + \dot{m}_3h_3)$
COP	$(\dot{Q}_{in,eva1(G)} + \dot{Q}_{in,eva2(H)} + \dot{Q}_{in,eva3(I)}) / \dot{w}_{comp}$

معادلات (۹) و (۱۰) به ترتیب معادله ای اگررژی برای گرمای از دست رفته در چگالنده و گرمای گرفته شده از پروپان داغ ورودی به تبخیر کن های J، H و G را نشان می دهند. همچنین T_0 نیز برابر ۲۹۸/۱۵ کلوین در نظر گرفته شده است.

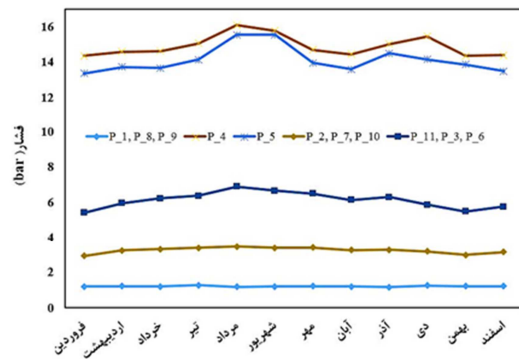
$$Ex_{\dot{Q}_{cond}} = \dot{Q}_{cond}(1 - \frac{T_0}{T_m}) \quad (9)$$

$$Ex_{\dot{Q}_{in,eva}} = \dot{Q}_{cond}(1 - \frac{T_0}{T_m}) \quad (10)$$

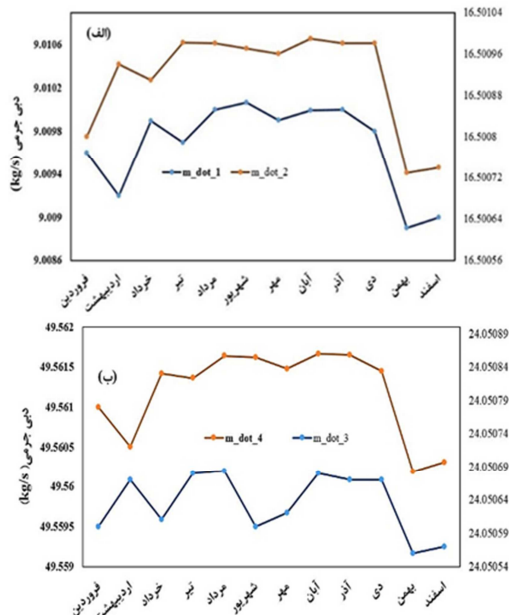
که در آن T_m متوسط دمای های قبل و بعد تبخیر کن ها فرض شده است.

معادلات موازنہ اگررژی با توجه به جدول ۵ و معادلات (۸-۱) در جدول ۵ آمده است. این معادلات بر اساس اختلاف اگررژی جریانی ورودی ها و خروجی ها به تجهیز مورد نظر چرخه تعریف می شوند. به عبارت دیگر برای محاسبه ای اگررژی هر تجهیز، داشتن شرایط ورودی و خروجی آن تجهیز یا همان محاسبه ای اگررژی ورودی و خروجی آن تجهیز مورد نیاز است.

فشار نیز کنترل کننده ها مقادیر بیشینه را در همین ماه ها نشان داده اند.

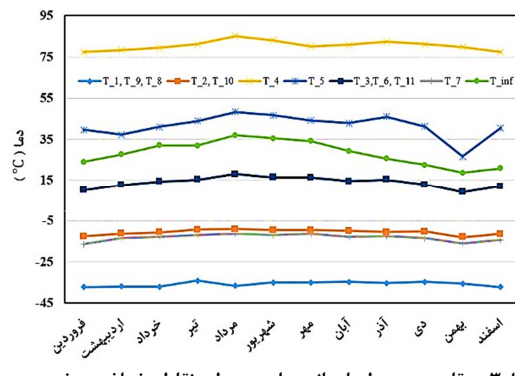


شکل ۴- مقادیر متوسط ماهیانه فشار محیط و نقاط مختلف چرخه



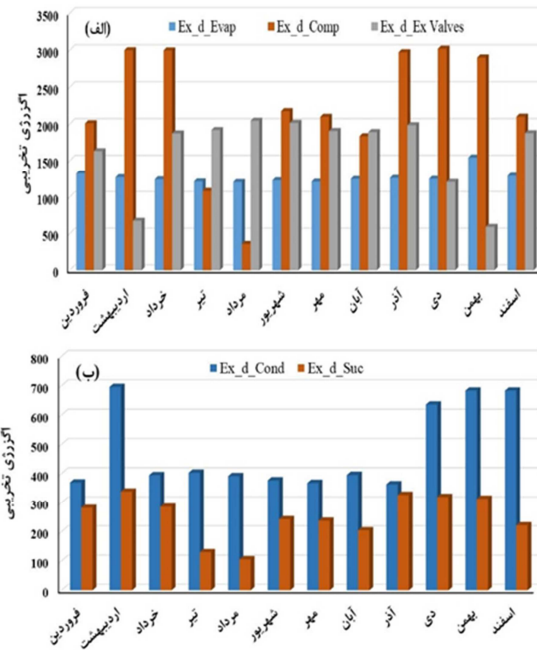
شکل ۵- مقادیر متوسط ماهیانه دبی برای (الف) مسیر های ۱ و ۲ و (ب) مسیر های ۳ و ۴

همچنین کمترین مقادیر فشار و دما نیز مربوط به ماه های بهمن، اسفند و فروردین است(شکل ۴). نتایج نشان می دهند که تغییرات فشار در نقاط ۵ و ۴ چرخه بسیار بیشتر از سایر نقاط چرخه است. تغییرات فشار برای نقاط ۱، ۸ و ۹ و همچنین نقاط ۲، ۷ و ۱۰ تقریباً روند ثابتی را نشان می دهد. به همین دلیل در آن نقاط فشار به صورت ثابت در نظر گرفته شده است. با توجه به شکل ۵ تغییرات دبی جریانی مبرد در چرخه برای مسیر های اصلی که همان ورودی ها و خروجی های چرخه هستند به صورتی است که مقادیر بیشینه در ماه های تیر، مرداد و شهریور و مقدار حداقل نیز در ماه های ابتدایی سال تجربه شده است. این نتایج متأثر از نحوه تغییرات دما و فشار و همچنین چگونگی تغییرات دبی جریانی مبرد است. بر اساس نتایجی که از ثبت

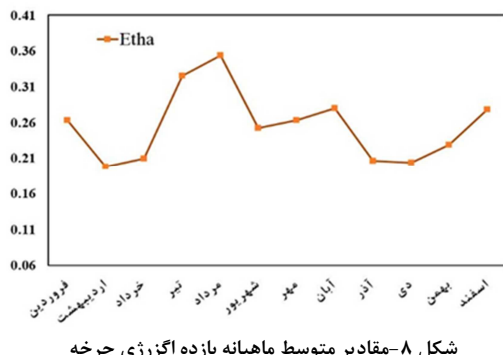


شکل ۶- مقادیر متوسط ماهیانه دمای محیط و نقاط مختلف چرخه

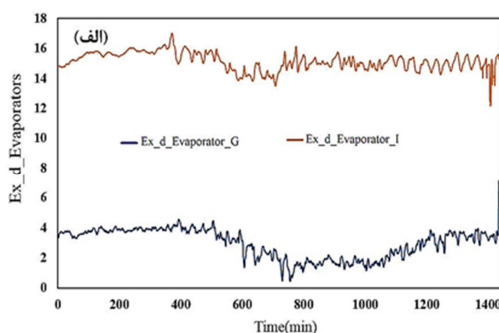
همچنین مشابه نمودار های دما برای نقاط مختلف چرخه، با استفاده از ثبت خروجی های کنترل کننده های فشار تعییه شده در نقاط چرخه، تغییرات فشار برای نقاط مختلف چرخه بر حسب بار(bar) محاسبه و نمودار مقادیر متوسط ماهیانه آن برای یک سال رسم گردیده اند. شکل ۴ تغییرات فشار برای یک سال را نشان می دهد. مطابق نتایج ثبت شده مقادیر متوسط دما و فشار در طول سال برای ماه مرداد به بیشترین مقدار خود رسیده اند و کمترین مقدار نیز برای انتهای سال ثبت گردیده است. به منظور بررسی نقش تغییرات دبی بر بازده چرخه و نیز اثرات آن بر دما و فشار نقاط مختلف چرخه، تغییرات دبی برای چهار مسیر اصلی چرخه تبرید موجود مساله که در واقع همان مسیر های ورودی و خروجی کمپرسور هستند بررسی شدند. مقادیر دبی با استفاده از کنترل کننده های دبی مبرد تعییه شده در مسیر مبرد و ثبت خروجی های حسگر فشار سنج آن بدست آمده اند شکل ۵ (الف و ب) دبی های ثبت شده از نقاط مختلف چرخه برای چرخی از نقاط مقادیر بسیار نزدیکی را نشان می دهد. (مطابق جدول ۳) به همین منظور تنها دبی های مسیر های اصلی که نشان دهنده واقعی تغییرات دبی موثر بر چرخه هستند توسط کنترل کننده های دبی جریانی ثبت شده اند. دبی ۴ که خط خروجی از کمپرسور است تقریباً مقداری برابر جمع دبی های قبل کمپرسور است. همچنین با استفاده از معادلات جدول ۴، مقدار کاری که در کمپرسور برای خنک سازی چرخه مصرف می شود و نیز گرمای ورودی به سه تبخیر کن G، H و I محاسبه شده است. برای این منظور از داده های ثبت شده در شکل های ۳ تا ۵ استفاده شده است. (شکل ۸) متوسط مجموع گرمای ۹ ورودی به سه تبخیر کن برای ماه های مختلف سال ۲۰۱۶ در شکل ۹ نشان داده شده است. بر اساس معادلات ۱ تا ۱۲ و نیز با استفاده از تعاریف اگررژی تخریبی برای تجهیزات مختلف به کار رفته در چرخه در جدول ۵، نتایج مشخصی برای بازده چرخه، اگررژی تخریبی تجهیزات و تغییرات آن ها برای ماه های مختلف سال به دست می آید. برای نمونه تغییرات دمای محیط برای سال ۲۰۱۶ (شکل ۳) بیشترین مقدار دمای محیط را برای ماه های مرداد، شهریور و مهر و کمترین مقدار را نیز برای ماه های بهمن، اسفند و دی نشان می دهد. همچنین همین بررسی برای دمای ثبت شده از نقاط مختلف چرخه که در شکل ۳ نشان داده شده است بیشترین مقدار دمای ثبت شده برای مسیر های چرخه نیز مربوط به ماه های تیر، مرداد، شهریور و مهر است، برای



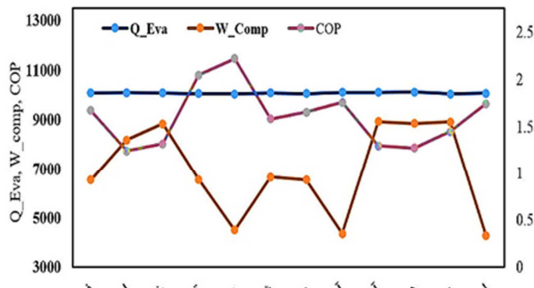
شکل ۷- مقادیر متوسط ماهیانه اگزرسی تخریبی برای (الف) تبخیر کن‌ها، کمپرسور، شیرهای ابساط و (ب) چگالنده و درام های مکس



شکل ۸- مقادیر متوسط ماهیانه بازده اگزرسی چرخه



دما، فشار و دبی مبرد در نقاط مختلف چرخه گرفته شد (شکل های ۳ تا ۵) و نیز با توجه به روند تغییرات دمای محیط می توان به تحلیل جامعی برای روند تغییر بازده چرخه و اگزرسی تخریبی تجهیزات در طول سال دست یافت. شکل ۶ نتایج حاصل از بررسی انرژی با کمک داده های تجربی را نشان می دهد.



شکل ۶- مقادیر متوسط ماهیانه گرمای ورودی، کارکمپرسور و ضریب عملکرد چرخه

با توجه به شکل، ضریب عملکرد چرخه متناظر با کاهش گرمای ورودی به چرخه در ماه مرداد دارای بیشترین مقدار است. همچنین کار انتقال یافته به تبخیر کن در ماه های مرداد و اسفند کمترین و در بهمن و آذر بیشترین مقادیر خود را دارد. تغییرات مقادیر گرمای کمپرسور نیز در طول سال با وجود تغییرات نسبتا کم روند تقریبا ثابتی را نشان می دهد. شکل ۷ (الف و ب) مقادیر متوسط اگزرسی تخریبی ۲۰۱۶ کمپرسور و تجهیزات مختلف دیگر برای ماه های مختلف سال (۲۰۱۶ میلادی) را نشان می دهد. مطابق با شکل ۷ و با توجه به انتلاق مستقیم روند تغییرات دما، فشار و دبی جریانی و نیز با در نظر گرفتن روند تغییر دمای محیط برای چرخه موجود می توان نتیجه گرفت که با افزایش دمای محیط و افزایش همزمان متوسط دما و فشار ماهیانه در هنگامی که کنترل کننده های دبی جریانی مقادیر بیشتری را نشان می دهند و ضریب عملکرد چرخه مقدار حداکثر را داراست، اگزرسی تخریبی تجهیزات حداقل مقدار خود را خواهد داشت. همچنین بازده اگزرسی چرخه نیز با توجه مقدار کل اگزرسی تخریبی چرخه و کار کمپرسور محاسبه شده است. مقادیر بازده اگزرسی به صورت متوسط ماهیانه برای یک سال (۲۰۱۶) در شکل ۸ آورده شده است. مطابق با روند تغییرات بازده اگزرسی در شکل ۸، بازده اگزرسی چرخه به ترتیب در ماه های مرداد و دی، بیشترین و کمترین مقدار خود را دارد. از آن جا که داده های ثبت شده برای هر دقیقه یک شبانه روز آند، برای هر روز، از فرایند متوسط گیری استفاده شده است. به همین دلیل امکان بررسی تغییرات اگزرسی تخریبی تجهیزات برای یک شبانه روز میسر است. برای نمونه شکل ۹ (الف و ب) تغییر مقادیر اگزرسی تخریبی تبخیر کن ها را برای ۱۴۴۰ دقیقه (۲۴ ساعت) روز ۱۵ ژانویه نشان می دهند.

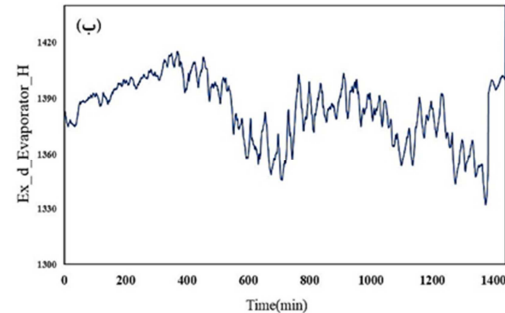
تخریبی و بازده چرخه بررسی شد و نسبت و رابطه‌ی موجود بین نتایج اگررژی تخریبی و کار و گرمای ورودی با بازده چرخه مورد بررسی قرار گرفت. بر این اساس یک رابطه مستقیم بین روند تغییرات دما، فشار، دبی و دمای محیط مشاهده شد و افزایش این مقادیر رابطه‌ی مستقیمی را با افزایش بازده چرخه نشان دادند. همچنین برای یک شباهنگ روز، کمترین مقدار اگررژی تخریبی که در ساعت ۲۴ صبح مشاهده شد مقادیر بیشینه بازده چرخه را برای آن بازه‌ی زمانی بدنیال داشت. بیشترین و کمترین مقادیر اگررژی تخریبی در سال به ترتیب برای مجموعه‌ی سه شیر انبساط و چگالنده بدست آمدند. همچنین کار و گرمای ورودی نیز محاسبه شدند. کمترین و بیشترین مقدار کار به ترتیب در ماه‌های اسفند، آذر و برای گرمای کل در ماه‌های اسفند و تیر مشاهده شد. با توجه به اینکه بیشترین مقادیر متوسط اگررژی تخریبی در طول یک سال مربوط به مجموعه‌ی شیرهای انبساط و کمپرسور است، بنابراین کاهش عوامل بازگشت ناپذیری و جلوگیری از آن می‌تواند به کاهش اگررژی تخریبی در آن تجهیزات و افزایش بازدهی چرخه کمک نماید. بدین منظور می‌توان با بهبود دقیقت کنترل کننده‌های دما و کاهش اختلاف دمای ورودی و خروجی‌های کمپرسور و نیز تعمیر یا بهبود کنترل کننده‌های فشار مجموعه‌ی شیرهای انبساط اگررژی تخریبی در این تجهیزات را کاهش داد.

۶-سپاس‌گذاری

در پایان از مدیریت واحد ۱۴۷ مجتمع گاز پارس جنوبی بدليل دراختیار قراردادن اطلاعات فرآیندی چرخه مورد بررسی این تحقیق کمال تشکر را دارم.

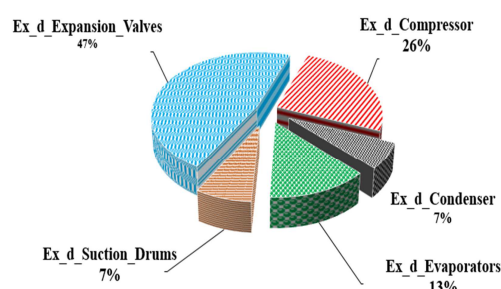
۷-نمادها

فشار	P
دما (°C)	T
آنالی	h
آنتروپی	s
اگررژی جریانی	Ex
دبی جریانی	m̄
گرمای انتقالی	Q
اگررژی تخریبی	i
بازده اнерژی	COP
کمپرسور	Comp
چگالنده	Cond
تبخیر کن	Eva
درام مکش	Suc
شیر انبساط	Ex Valve
علاطم یونانی	I
لزجت دینامیکی (kgm ⁻¹ s ⁻¹)	J
زیرنویس‌ها	i
ورودی	o
خروجی	



شکل ۹- مقادیر متوسط اگررژی تخریبی شباهنگ روز چرخه (الف)
تبخیر کن‌های G و (ب) تبخیر کن

مطابق شکل ۹، تغییرات برای اگررژی تخریبی تبخیر کن‌ها از دقیقه صفر (ساعت ۲۴ شب) تا دقیقه ۱۴۴۰ پایان شباهنگ روز، به صورتی است که به ترتیب کمترین مقادیر اگررژی تخریبی برای تبخیر کن‌ها در بازه ۸۰۰ تا ۱۴۴۰ دقیقه است. با توجه به این موضوع و اینکه چرخه در ساعت ۲۴ تا ۶ صبح به حالت نیمه فعال و تقریباً بازده کم کار می‌کند، این تغییرات قابل توجیه‌اند. با توجه به شکل ۹ تغییرات اگررژی تخریبی برای تبخیر کن‌ها در یک شباهنگ روز دارای نوسانات نسبتاً شدید است که به دلایل مختلفی بستگی دارد. نوع نیازهای از چرخه در زمان‌های مختلف و تصمیمات نیروی انسانی در شرایط واقعی فعالیت چرخه که به دلایل مختلفی از جمله منابع انرژی و هزینه وابسته هستند از جمله مواردی هستند که بر عملکرد چرخه بسیار موثر هستند. سهم هر کدام از تجهیزات در اگررژی تخریبی کل برای یک سال در شکل ۱۰ نشان داده شده است. با توجه شکل، بیشترین سهم از اگررژی تخریبی برای یک سال مربوط به مجموعه‌ی شیرهای انبساط با ۴۷ درصد و کمترین درصد اگررژی تخریبی هم متعلق به



شکل ۱۰- درصد مقادیر متوسط اگررژی تخریبی تجهیزات در سال

چگالنده با ۷ درصد است. با توجه به این موارد توجه به کاهش عوامل بازگشت ناپذیری در مجموعه‌ی شیرهای انبساط به منظور افزایش بازدهی چرخه بسیار ضروری به نظر می‌رسد.

۸-نتیجه‌گیری

با توجه به نتایج بدست آمده از ثبت دما، فشار و دبی جریانی نقاط مختلف چرخه و نیز ثبت تغییرات دمای محیط، روند تغییرات اگررژی

- مراجع

مرز سیستم	r
جرم	mass
تولید شده	gen

- [16] Yadav G., Rajendra Prasad P., Veeresh G., Experimental analysis of vapor compression refrigeration system with liquid line suction line heat exchanger by using R134a and R404A, *International Journal of Scientific Research and Management Studie*, Vol. 1, No. 12, pp. 382-395, 2015.
- [17] Kanoglu M., Carpinlioglu M., Yildirim M., Energy and exergy analysis of an experimental open-cycle desiccant cooling system, *Applied Thermal Engineering*, Vol. 24, pp. 919-932, 2004.
- [18] Esen H., Inalli M., Esen M., Pihtili K., Energy and exergy analysis of a ground-coupled heat pump system with two horizontal ground heat exchangers, *Building and Environment*, Vol. 42, pp. 3606-3615, 2007.
- [1] Anand S., Tyagi S. K., Exergy analysis and experimental study of a vapor compression refrigeration cycle. *J Therm Anal Calorim*, Vol. 110, No.2, pp. 961-971, 2012.
- [2] دکاندیاری د. محمودی م. ستایش حق ع. تحلیل ترمودینامیکی و بهینه سازی چرخه تبرید. مجله هی مهندسی مکانیک مدرس، ۵، ۱۴، ش. ۷، ص ۸۵-۹۳. ۱۳۹۳، ۹۳
- [3] Bayram k., Exergy analysis of vapor compression refrigeration cycle with two-stage and intercooler. *Heat Mass Transfer*, Vol. 48, No. 1, pp. 1207-1217, 2012.
- [۴] فاخری ر. شریف آباد ه. سخاپی ح. تحلیل انرژی و انگریزی چرخه های تبرید جنوبی تک اتره و ترکیبی جنبی-احکتور حاوی محلول آبی لیتیوم بروماید، مجله هی مهندسی مکانیک دانشگاه تبریز، ۵، ۴۷، ش. ۴، ص ۲۱۸-۲۰۹. ۱۳۹۶
- [۵] جلالی س. شریفی م. صالحی غ. نیموری م. تحلیل انرژی، انگریزی و زیست محیطی استفاده از سیستم تبرید هیبریدی تراکمی-جنوبی در کشتی تجاری، مجله هی مهندسی مکانیک مدرس، ۵، ۱۷، ش. ۱۰، ص ۴۳۸-۴۲۹. ۱۳۹۶
- [۶] ضیاء بخش ر. صدر واقعی ع. تحلیل انگریزه و کونومیک چرخه تبرید تراکمی کسکد، هشتمین کنفرانس مبدل های گرمایی چیلر و برج خنک کن، تهران، ۱۳۹۵
- [7] Zubair, Syed M., Design and rating of a two-stage vapor-compression refrigeration system. *Energy*, Vol. 23, No. 10, pp. 867-878, 1998.
- [8] Chandrasekharan, Mohan., Exergy analysis of vapor compression refrigeration system using R12 and R134a as refrigerants. *International Journal of Students' Research in Technology & Management*, Vol. 2, No. 4, pp. 134-139, 2015.
- [9] Nawaz khan Md., Mamoon khan Md., Energy and exergy analysis of vapor compression refrigeration system with R12, R22, R134a. *international journal of emerging technology and advanced engineering*, Vol. 5, No. 3, pp. 2250-2459, 2015.
- [10] Patel, Bhavesh, Kachhwaha S., Modi B., Thermodynamic Modeling and parametric study of a two-stage compression-absorption refrigeration system for ice cream hardening plant. *Energy procedia*, Vol. 109, pp. 190-202, 2017.
- [11] Seyitoglu S., Kilicarslan A., Second law analysis of different refrigerants in a two-stage vapor compression cycle. *J. of Thermal science and technology*, Vol. 35, No. 2, pp. 1300-3615, 2015.
- [12] Prateek D., Malwe, Bajirao S., Gawali and Shekhar D., Thakre., Exergy Analysis of Vapour Compression Refrigeration System, *International Journal of Thermal Technologies* Vol. 4, No. 2, pp. 2277-4114, 2014.
- [۱۳] شیبانی ع. کشتکار م. تحلیل انگریزی و زیست محیطی چرخه تبرید تراکمی به کمک الگوریتم زنتیک، هفتمین کنفرانس مبدل های گرمایی چیلر و برج خنک کن، تهران، ۱۳۹۴
- [14] Vasudev V., Sekhar R., Dondapati S., Experimental and exergy analysis of Ammonia/water absorption system using ethylene glycol $[C_2H_4(OH)_2]$ in the evaporator. *Energy*, Vol. 109, pp. 401-408, 2017.
- [15] Araz M., Gunor A., Hepbasli A., Experimental exergetic performance evaluation of an elevator air conditioner using R-1234yf, *International Journal of Engineering and Technology*, Vol. 7, No. 3, 2015.